

**Zeitschrift:** Bulletin des Schweizerischen Elektrotechnischen Vereins  
**Herausgeber:** Schweizerischer Elektrotechnischer Verein ; Verband Schweizerischer Elektrizitätswerke  
**Band:** 61 (1970)  
**Heft:** 5

**Artikel:** Die Anwendung linearer und digitaler integrierter Schaltungen in der Röntgenstrukturanalyse  
**Autor:** Best, R.  
**DOI:** <https://doi.org/10.5169/seals-915919>

### **Nutzungsbedingungen**

Die ETH-Bibliothek ist die Anbieterin der digitalisierten Zeitschriften auf E-Periodica. Sie besitzt keine Urheberrechte an den Zeitschriften und ist nicht verantwortlich für deren Inhalte. Die Rechte liegen in der Regel bei den Herausgebern beziehungsweise den externen Rechteinhabern. Das Veröffentlichen von Bildern in Print- und Online-Publikationen sowie auf Social Media-Kanälen oder Webseiten ist nur mit vorheriger Genehmigung der Rechteinhaber erlaubt. [Mehr erfahren](#)

### **Conditions d'utilisation**

L'ETH Library est le fournisseur des revues numérisées. Elle ne détient aucun droit d'auteur sur les revues et n'est pas responsable de leur contenu. En règle générale, les droits sont détenus par les éditeurs ou les détenteurs de droits externes. La reproduction d'images dans des publications imprimées ou en ligne ainsi que sur des canaux de médias sociaux ou des sites web n'est autorisée qu'avec l'accord préalable des détenteurs des droits. [En savoir plus](#)

### **Terms of use**

The ETH Library is the provider of the digitised journals. It does not own any copyrights to the journals and is not responsible for their content. The rights usually lie with the publishers or the external rights holders. Publishing images in print and online publications, as well as on social media channels or websites, is only permitted with the prior consent of the rights holders. [Find out more](#)

**Download PDF:** 07.01.2026

**ETH-Bibliothek Zürich, E-Periodica, <https://www.e-periodica.ch>**

# Die Anwendung linearer und digitaler integrierter Schaltungen in der Röntgenstrukturanalyse

Von R. Best, Basel

476-481

621.3.049.75 : 548.73

Zur Aufklärung der Struktur kristalliner Substanzen werden häufig Methoden der Beugung von Röntgenstrahlen am Kristallgitter verwendet. Die Energie der gebeugten Strahlung wird mit dem Röntgendiffraktometer gemessen. Im vorliegenden Aufsatz wird derjenige Teil der Elektronik beschrieben, der zur Erfassung der reflektierten Röntgenquanten dient. Diese sogenannte Zählkette besteht aus einem Röntgendetektor, einem Breitbandverstärker, einem Amplitudensieb (Fenster-Diskriminator), welches zur Ausfilterung unerwünschter Impulse (Rauschen etc.) dient, sowie aus impulsformenden Netzwerken, die zur Bereitstellung computerkompatibler digitaler und analoger Ausgangsgrößen benötigt werden. Während im Zeitalter der diskreten Elektronikbauweise dieser Elektronikteil ein umfangreiches Ausmass annahm, lässt sich durch Kombination linearer und digitaler integrierter Bausteine eine einfache und elegante Lösung realisieren.

Pour l'étude de la structure de substances cristallines, on a souvent recours à des méthodes de diffraction de rayons X au réseau cristallin. L'énergie du rayonnement diffracté est mesurée avec un diffractomètre. Dans cet exposé, on décrit la partie de l'électronique qui sert à la détermination des quanta radiographiques. La chaîne de comptage consiste en un détecteur de rayons X, un amplificateur à large bande, un filtre d'amplitude (discriminateur à fenêtre), servant à l'élimination d'impulsions indésirables (bruits, etc.), ainsi qu'en réseaux de formation d'impulsions, nécessaires pour obtenir des grandeurs de sortie numériques et analogiques, pouvant être traitées dans un ordinateur électronique. Alors qu'avec l'électronique à éléments discrets, cette partie était fort volumineuse, on peut maintenant réaliser un équipement plus simple et plus élégant par la combinaison d'éléments intégrés linéaires et numériques.

## 1. Messprinzip

Kristalline Substanzen bilden regelmässige Gitterstrukturen. Durch die Gitterpunkte lassen sich Scharen von parallelen Gitterebenen legen (Fig. 1). Fällt eine parallele monochromatische Röntgenstrahlung auf einen Kristall, so tritt Reflexion an einer Schar paralleler Gitterebenen nur dann ein, wenn die Gangdifferenz  $a-b$  der reflektierten Strahlen ein ganzes Vielfaches der Wellenlänge  $\lambda$  der Röntgenstrahlung beträgt. Dies ist dann der Fall, wenn der Einfallswinkel  $\vartheta$  der Röntgenstrahlung die Bedingung

$$\sin \vartheta = \frac{n \lambda}{2d}$$

erfüllt, worin  $d$  Abstand der Gitterebenen und  $n$  ganze Zahl sind. Die Intensität  $I$  der reflektierten Strahlung ist von der Kristallstruktur abhängig.

Aus Fig. 2 ist ersichtlich, dass sich eine beliebige Anzahl von parallelen Ebenenscharen durch das Kristallgitter legen lässt. Wird jetzt der Kristall bezüglich der einfallenden Strah-

lung gedreht, so kommt er immer wieder erneut in eine Lage, in der die Bedingung für Reflexion erfüllt ist. Für die Analyse einer Kristallstruktur ist es nun notwendig, die Intensitäten  $I$  aller Strahlen auszumessen, die von den verschiedenen

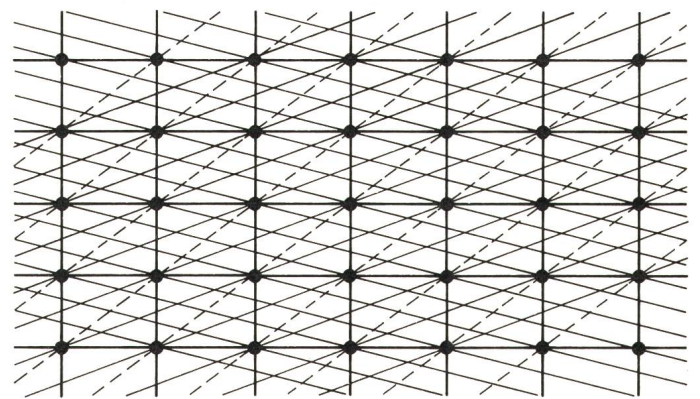


Fig. 2

### Gitterebenscharen durch ein Kristallgitter

Durch ein Kristallgitter lässt sich eine beliebig grosse Anzahl von Gitterebenscharen legen. Daher kommt der Kristall bei Drehung immer wieder erneut in eine reflexionsfähige Lage

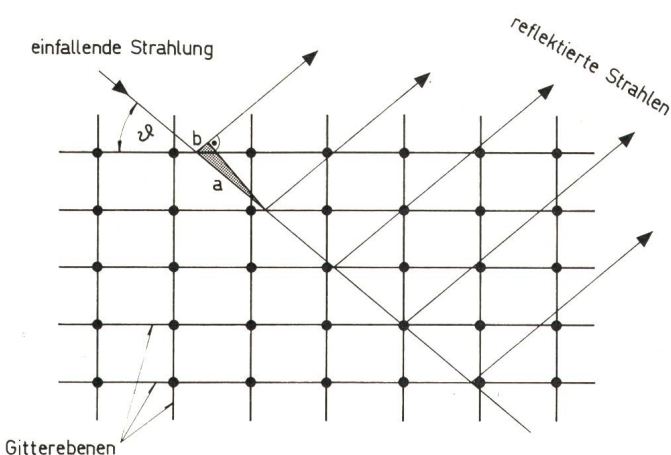


Fig. 1

### Reflexion einfallender monochromatischer Röntgenstrahlung

Die Strahlung wird von den Gitterebenen dann reflektiert, wenn die Gangdifferenzen der reflektierten Strahlen ein ganzzahliges Vielfaches der Wellenlänge beträgt  
 $\vartheta$  Einfallswinkel;  $a-b$  Gangdifferenz

parallelen Gitterebenscharen bei reflexionsfähiger Lage des Kristalls reflektiert werden. Diese Messung wird mit Hilfe des Röntgendiffraktometers durchgeführt, dessen grundsätzlicher Aufbau in Fig. 3 gezeigt ist. Die Aufgabe dieses Geräts besteht vor allem darin, den Kristall durch Drehung in eine reflexionsfähige Lage zu bringen, den Röntgendetektor so zu positionieren, dass er den reflektierten Strahl auffängt, und schliesslich die Intensität der reflektierten Strahlung zu messen.

Die Anordnung nach Fig. 3 arbeitet wie folgt: Die von der Röntgenquelle emittierte Strahlung wird mittels Lochblenden fokussiert und auf den drehbar angeordneten Kristall gerichtet. Da die Strahlung nicht monochromatisch ist (Fig. 4) muss mit Hilfe von Filtern (im Röntgendetektor eingebaut) eine schmale Bande ausgefiltert werden. Die vom Kristall reflek-

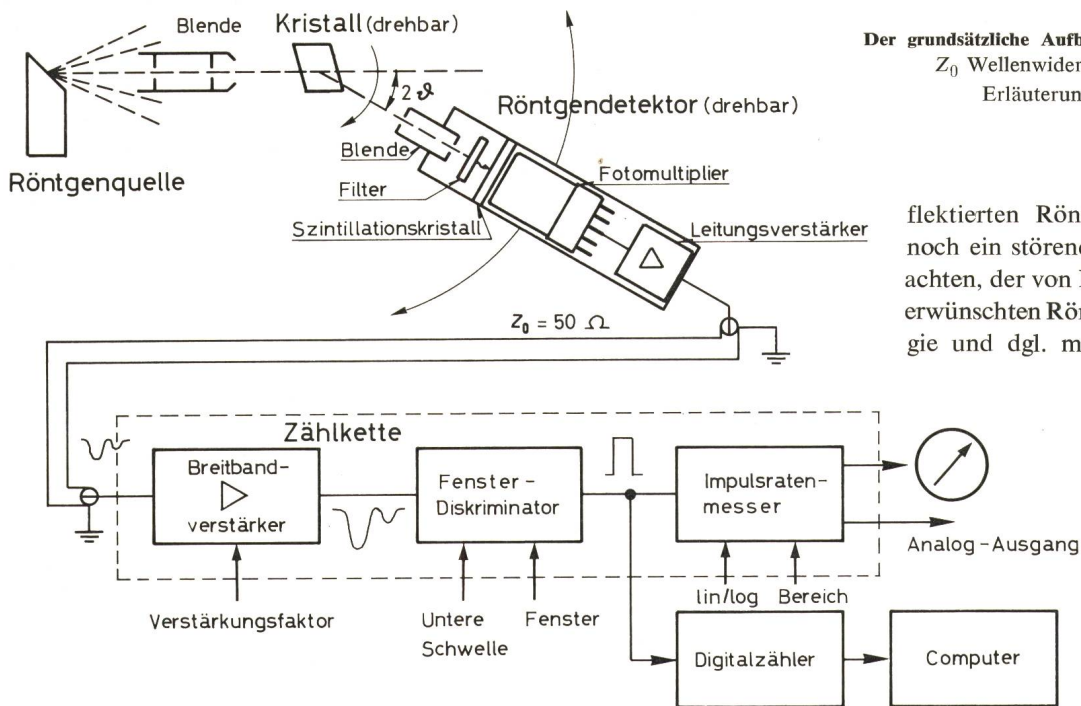


Fig. 3  
Der grundsätzliche Aufbau eines Röntgendiffraktometers  
 $Z_0$  Wellenwiderstand;  $\vartheta$  Einfallswinkel  
Erläuterungen siehe im Text

tierten Strahlen treffen auf den ebenfalls drehbar angeordneten Röntgendetektor. Dieser besteht grundsätzlich aus einem Szintillator und einem Fotomultiplier (Sekundär-Elektronen-Vervielfacher). Der Szintillator wandelt die einfallenden Röntgenquanten in Lichtquanten um, die für den Fotomultiplier sichtbar sind. Wären Szintillator und Fotomultiplier ideal und hätten alle vom Kristall reflektierten Röntgenquanten dieselbe Energie, so müssten auch die an der Anode des Fotomultipliers abgenommenen Impulse dieselbe Amplitude aufweisen. Da jedoch der Szintillationsprozess statistischer Natur ist und der Fotomultiplier ein Eigenrauschen aufweist usw., zeigen die Ausgangsimpulse des Fotomultipliers eine Verteilungskurve (Fig. 5), die etwa einer Gaußschen-Verteilung entspricht. Neben einem «Hauptpeak», der von der der-

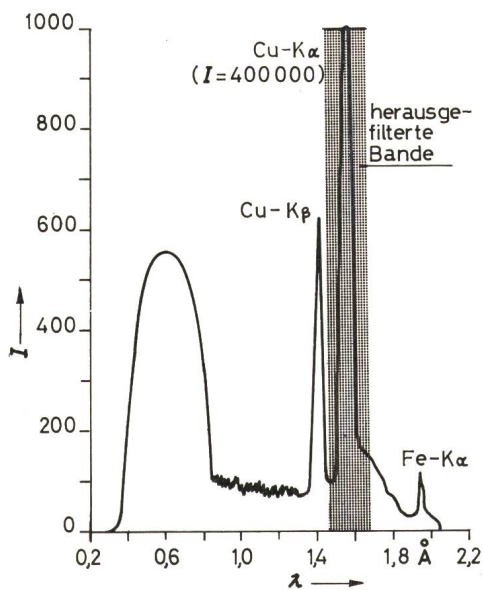


Fig. 4  
Emissionsspektrum einer typischen Röntgenstrahlungsquelle  
Annähernd monochromatische Strahlung wird durch Ausfiltern einer einzelnen, scharfen Bande gewonnen  
 $I$  spektrale Intensität;  $\lambda$  Wellenlänge

flektierten Röntgenstrahlung herrührt, ist noch ein störender «Untergrund» zu beobachten, der von Fotomultiplerrauschen, unerwünschten Röntgenquanten anderer Energie und dgl. mehr gebildet wird. Da der

Untergrund die Messresultate verfälscht, werden mit einem Amplitudensieb (Fenster-Diskriminator, Window-Diskriminator) diejenigen Impulse herausgeführt, deren Amplitude innerhalb eines einstellbaren «Fensters»  $F$  (vgl. Fig. 5) liegt. Wie aus Fig. 3 ersichtlich, liegen zwischen Fotomulti-

plifier und Fenster-Diskriminator noch ein Leitungsverstärker und ein Breitbandverstärker. Der Leitungsverstärker hat eine Spannungsverstärkung von  $+1$  und dient zur Impedanzanpassung des hochohmigen Fotomultipliers an die niederohmige Leitung ( $Z_0 = 50 \Omega$ ). Der Breitbandverstärker hebt das Spannungsniveau auf den für den Fensterdiskriminator benötigten Bereich von  $0..5 \text{ V}$  an. Der Fensterdiskriminator liefert für jeden innerhalb des Fensters liegenden Eingangsimpuls einen bezüglich Amplitude und Impulsdauer standardisierten Ausgangsimpuls. Die Ausgangsimpulse gelangen an den Eingang eines Digitalzählers. Die mittlere Impulsfrequenz ist dabei ein direktes Mass für die Intensität der reflektierten Strahlung. Der Zählerstand wird seinerseits von einem Computer abgefragt, der die Auswertung der gemessenen Resultate vornimmt. Andererseits werden die Ausgangsimpulse des Fensterdiskriminators dem sog. Impulsraten-Messer (Count rate meter) zugeführt. Diese Schaltung wandelt die mittlere Impulsfrequenz der vom Fensterdiskriminator gelieferten Impulse in ein Analogsignal um, welches zur visuellen Ablesung sowie zur Registrierung dient. Das Ausgangssignal ist wahlweise entweder der mittleren Impulsfrequenz selbst oder deren Logarithmus proportional. Die logarithmische Aufzeichnung erlaubt die Registrierung eines grösseren dynamischen Bereiches.

Die Szintillatoren sind einer Alterung unterworfen, die sich durch eine Verbreiterung der Amplitudenverteilungskurve bemerkbar macht (siehe gestrichelte Kurve in Fig. 5). Ist diese Kurve einmal zu flach geworden, so können die Impulse des «Hauptpeaks» nicht mehr sauber vom «Untergrund» getrennt werden, womit der Szintillator unbrauchbar wird. Deshalb muss die Verteilungsfunktion des Szintillators periodisch überprüft werden. Für diese Messung wird wiederum der Fensterdiskriminator verwendet; dabei wird ein schmales Fenster eingestellt und Schritt für Schritt über den ganzen Spannungsbereich (Abszisse in Fig. 5) verschoben.

Die Schaltungen der Zählkette werden in den folgenden Abschnitten ausführlich beschrieben.

## 2. Szintillationszähler und Leitungsverstärker

Das Schaltschema des Szintillationszählers und des Leitungsverstärkers ist in Fig. 6 dargestellt.

Da zwischen dem hochohmigen Fotomultiplerausgang und der übrigen Elektronik ein längeres Kabel liegt, ist direkt in das Fotomultipliergehäuse ein Emitterfolger zur Impedanzanpassung eingebaut. Seine Ausgangsimpedanz beträgt etwa  $50 \Omega$  und ist daher dem Wellenwiderstand  $Z_0$  des Kabels von  $50 \Omega$  weitgehend angepasst.

## 3. Breitbandverstärker

Fig. 7 zeigt die Wellenform der vom Fotomultiplier abgegebenen Impulse. Die Wellenform entspricht etwa einer Gausskurve, wobei die Amplitude der Impulse im Bereich von  $0 \dots 100 \text{ mV}$  liegt und die Impulsbreite (an der Basis gemessen) etwa  $1 \mu\text{s}$  beträgt. Da der Fensterdiskriminator mit Eingangssignalen im Bereich von  $0 \dots 5 \text{ V}$  (Scheitelwert) arbeitet, muss zwischen Leitungstreiber und Fensterdiskriminator noch ein Breitbandverstärker geschaltet werden. Ge-

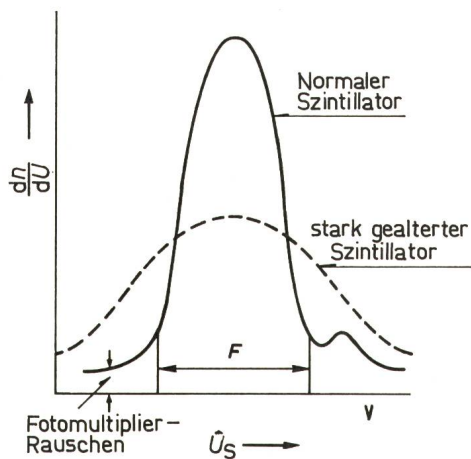


Fig. 5

Typische Impulshöhenverteilung am Photomultiplier

$F$  Fenster;  $\frac{dn}{dU}$  Anzahl Impulse pro Spannungsintervall;  $U_S$  Scheitelwert der Ausgangsimpulse am Fotomultiplier

Erläuterungen siehe im Text

mäss Fig. 7 lassen sich die Anforderungen abschätzen, die an diesen Verstärker gestellt werden:

Spannungsverstärkungsfaktor:	50
Bandbreite ( $-3 \text{ dB}$ ):	min. $1 \text{ MHz}$
Slewing rate (Anstiegsgeschwindigkeit):	min. $20 \text{ V}/\mu\text{s}$
Verzerrungsfreie Ausgangsspannung bei $f = 1 \text{ MHz}$ :	min. $5 \text{ V}$ (Scheitelwert, unipolar)

Zur Zeit, als diese Schaltung entwickelt wurde (Anfang 1968), waren weder diskrete noch integrierte Operationsverstärker oder Breitbandverstärker erhältlich, die diesen Anforderungen genügten. Daher wurde dieser Verstärker diskret aufgebaut (Fig. 8).

Die benötigte Spannungsverstärkung wird durch zwei in Kaskade geschaltete, stark in sich gegengekoppelte Emitterstufen erreicht. Zwischen erste und zweite Emitterstufe ist zur Entkopplung ein Emitterfolger geschaltet; ein zweiter Darlington-Emitterfolger entkoppelt die zweite Emitterstufe

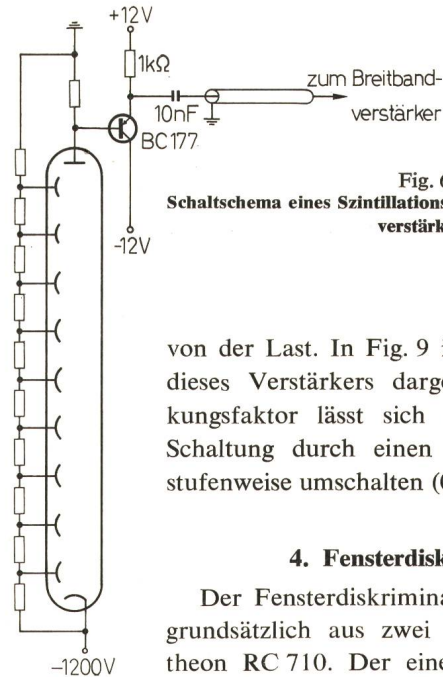


Fig. 6

Schaltschema eines Szintillationszählers und eines Leitungsverstärkers

von der Last. In Fig. 9 ist der Frequenzgang dieses Verstärkers dargestellt. Der Verstärkungsfaktor lässt sich in der angegebenen Schaltung durch einen Umschalter (Fig. 8) stufenweise umschalten ( $0; 12,5; 25; 37,5; 50$ ).

## 4. Fensterdiskriminator

Der Fensterdiskriminator (Fig. 10) besteht grundsätzlich aus zwei Komparatoren Raytheon RC 710. Der eine Komparator prüft, ob der Scheitelwert des Signals grösser oder kleiner als die untere Schwelle ist; der zweite stellt fest, ob der Scheitelwert des Signals grösser oder kleiner als die obere Schwelle ist. Die Spannungen, die diesen Schwellwerten entsprechen, liegen im Bereich von  $0 \dots 5 \text{ V}$  und werden durch variable stabilisierte Gleichspannungsquellen gebildet. Die der oberen Schwelle entsprechende Spannung ist dabei die Summe der Spannung «Untere Schwelle» und der erdfreien Spannung «Fenster».

Da im vorliegenden Fall die Dauer der Eingangsimpulse nicht viel grösser als die Schaltzeiten der Komparatoren ist, kann es vorkommen, dass diese nur unvollständig durchschalten. Wird bei der Auslegung der Schaltung diesem Umstand keine Rechnung getragen, so kann dies zu fehlerhaftem Verhalten der nachgeschalteten Logikelemente führen (falsches Triggern usw.). Man muss daher zunächst das Schaltverhalten eines Komparators etwas eingehender untersuchen.

Die Schaltzeit eines Komparators wird gemessen, in dem an den einen Eingang eine konstante Spannung (z. B.  $0 \text{ V}$ ), an den anderen ein Spannungssprung angelegt wird (Fig. 11). Die beiden Spannungsniveaus der Sprungfunktion werden so gewählt, dass vor dem Sprung der Ausgang in einem logischen Zustand («0»  $\hat{=} 0 \text{ V}$  oder «1»  $\hat{=} > +3 \text{ V}$ ) gesättigt ist, nach dem Sprung aber in den anderen Zustand umschal-

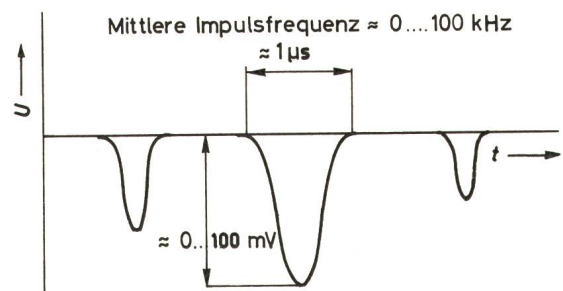
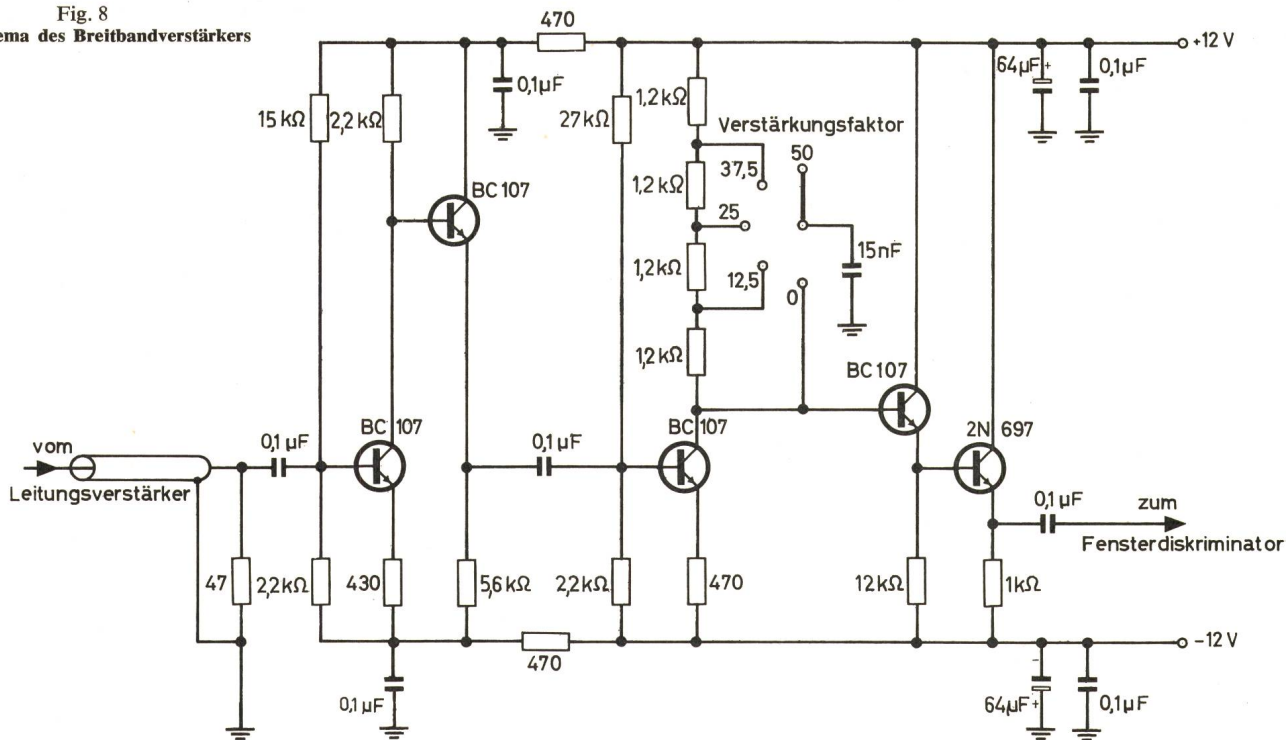


Fig. 7

Die typische Wellenform der am Photomultiplerausgang auftretenden Signale  $t$  Zeit;  $U$  Spannung an der Anode des Photomultipliers

Fig. 8  
Schaltschema des Breitbandverstärkers



tet und dort in Sättigung geht. Unter «Overdrive level» versteht man die Spannungsdifferenz zwischen beiden Komparatoreingängen nach dem Anlegen des Spannungssprungs. Aus Fig. 12 und 13 sieht man, dass der Komparator umso schneller schaltet, je grösser das Overdrive level ist. Besonders ist zu beachten, dass die negative Flanke des Komparatorausgangs (Schalten von 1 auf 0) schon bei geringen kapazitiven Belastungen  $C_L$  beträchtlich verflacht wird, während dies bei der positiven Flanke weniger der Fall ist. Auf die vorliegende Anwendung übertragen bedeutet dies, dass der Komparator bei kurzen Eingangsimpulsen nur dann richtig durchschaltet, wenn das Overdrive level genügend gross ist, während im entgegengesetzten Falle das «teilweise Schalten» eintritt (Fig. 14).

Die Schaltung nach Fig. 10 ist jetzt so ausgelegt, dass sie selbst bei unvollständigem Schalten der Komparatoren ohne Störung arbeitet. Da die positive Flanke der Komparatoren steiler als die negative ist, sind die Komparatoren so geschaltet, dass ihre Ausgangsspannung im Ruhezustand logisch 0 (0 V) beträgt und in den 1-Zustand (etwa +3 V) schaltet, wenn das Eingangssignal den eingestellten Schwellwert über-

schreitet. Nur die positive Flanke des Komparatorausgangs wird zur Ansteuerung weiterer Schaltungen verwendet. Da jedem Komparator ein DTL-NAND-Gatter nachgeschaltet ist, dessen Schwellenspannung bekanntlich bei etwa +1,4 V liegt, erhält man am Ausgang des NAND-Gatters schon dann eine steile negative Flanke, wenn der Komparator nur teilweise von 0 V auf etwa +1,4 V schaltet. Bei den DTL-Gattern ist überdies die negative Flanke steiler als die positive, weil bei der negativen Flanke der Ausgangstransistor vom gesperrten in den leitenden Zustand geschaltet wird, wobei keine Verzögerung durch Ladungsspeicherung entsteht. In der Kaskadenschaltung von Komparator und NAND-Gatter wird daher bei beiden Elementen die steilere Flanke ausgenutzt. Die Logik des Fensterdiskriminators arbeitet nun wie folgt: Erscheint am Eingang ein Impuls (Polarität: negativ), dessen Scheitelwert die untere Schwelle überschreitet, so erscheint am Ausgang des Komparators  $K_1$  eine positive, am Ausgang des nachgeschalteten NAND-Gatters eine steile negative Flanke. Diese Flanke triggert den Monoflop OS 1, dessen Impulsdauer 1  $\mu$ s beträgt. Die hintere Flanke des Monoflops OS 1 wird zur Triggierung eines zweiten Monoflops OS 2 mit einer Impulsdauer von 2  $\mu$ s verwendet. Der Impuls des OS 2 gelangt über das NAND-Gatter G3 an den Ausgang des Fensterdiskriminators. Dieses NAND-Gatter ist solange geöffnet, als das Eingangssignal die obere Schwelle nicht überschritten hat. Wurde die obere Schwelle jedoch überschritten, so ist das Flipflop gesetzt worden, wodurch jetzt das NAND-Gatter G3 gesperrt ist. Beim erwähnten Flipflop handelt es sich um ein «AC-Flipflop», d. h. um ein Flipflop, welches mit Impulsflanken gesetzt bzw. zurückgestellt werden kann. Die Entscheidung, ob die obere Schwelle überschritten worden ist oder nicht, muss demnach während der Impulsdauer des Monoflops OS 1 gefällt werden. Die Schaltung ist daher nur für Eingangsimpulse brauchbar, deren Impulsdauer kleiner als 2  $\mu$ s ist. Sind die Impulse länger, so kann entweder die Impulsdauer des OS 1 verlängert,

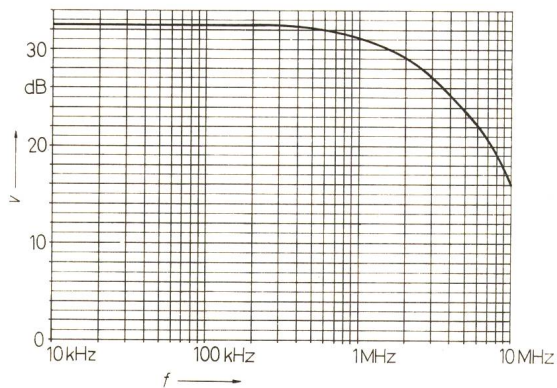


Fig. 9  
Frequenzgang des Breitbandverstärkers  
 $f$  Frequenz;  $v$  Spannungsverstärkungsfaktor

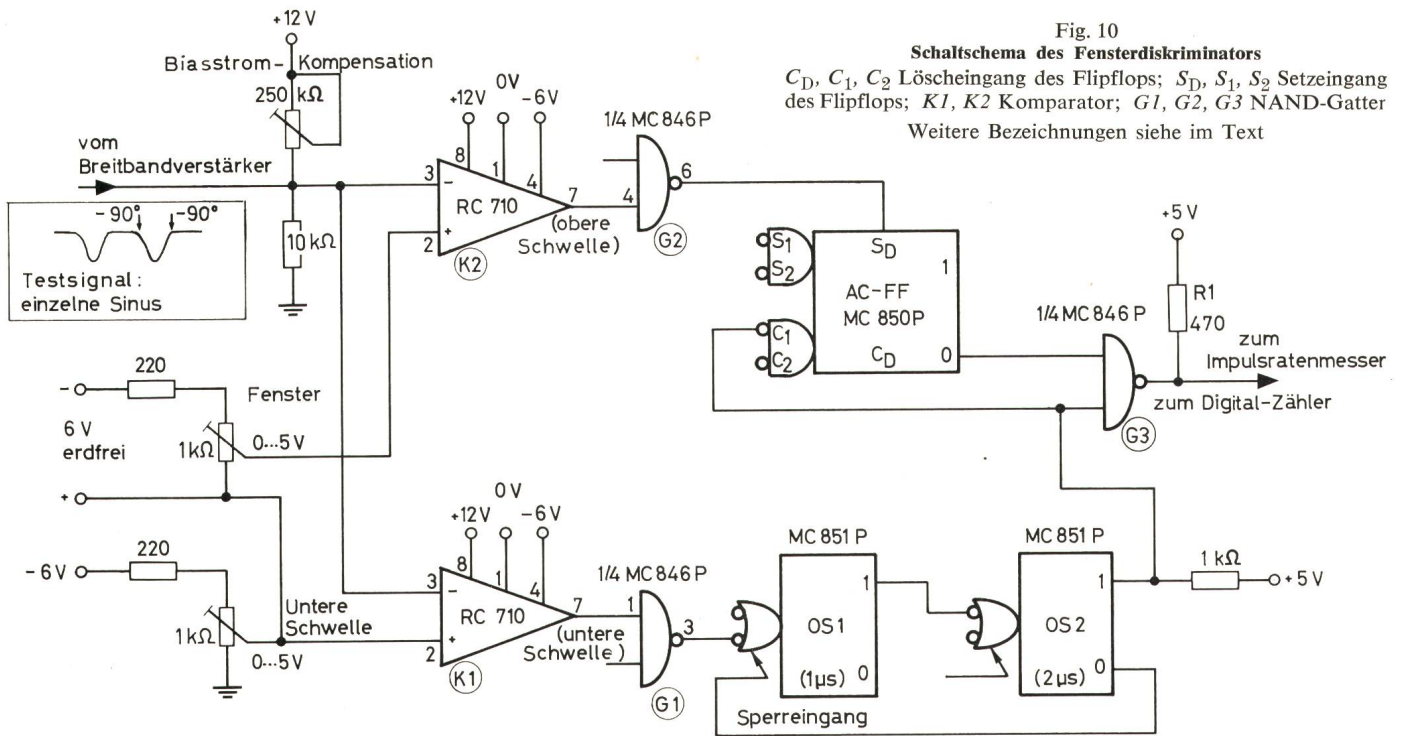


Fig. 10

Schaltschema des Fensterdiskriminators

$C_D, C_1, C_2$  Löscheingang des Flipflops;  $S_D, S_1, S_2$  Setzeingang des Flipflops;  $K1, K2$  Komparator;  $G1, G2, G3$  NAND-Gatter  
 Weitere Bezeichnungen siehe im Text

oder a priori eine einfachere, langsamere Schaltung verwendet werden.

Es ist noch zu erwähnen, dass während der Impulsdauer des OS 2 das Triggereingang des OS 1 gesperrt wird. Es kommt nämlich zuweilen vor, dass zwei Impulse so rasch aufeinander folgen, dass der Monoflop OS 1 bereits erneut getriggert wird, wenn er sich noch nicht völlig erholt hat. Er würde dann undefinierte Ausgangsimpulse abgeben, was zu falschen Aus-

fen, das aus einzelnen Sinusschwingungen besteht, deren Anfangs- und Endphase  $-90^\circ$  beträgt (Fig. 10). Derartige Testsignale lassen sich leicht mit einem triggerbaren Funktionsgenerator herstellen. Bei einer Impulsbreite von  $1 \mu s$  wurde das «Overdrive level» gemessen, das benötigt wird, damit der Monoflop OS 1 anspricht, bzw. damit der AC-Flipflop gesetzt wird. Es zeigte sich, dass das benötigte «Overdrive level» praktisch unabhängig von der Impulsamplitude ist und etwa  $10 \text{ mV}$  beträgt, was bezogen auf den Messbereich von  $0...5 \text{ V}$  einem relativen Fehler von  $0,2 \%$  entspricht.

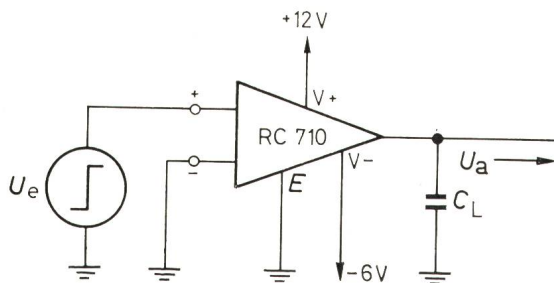


Fig. 11

Testschaltung zur Messung der Schaltzeiten beim Komparator Typ RC 710  
 $C_L$  Lastkapazität;  $E$  OV-Anschluss;  $U_a$  Ausgangsspannung;  
 $U_e$  Eingangsspannung

gangsimpulsen führen kann. Dank der eingebauten Sperre ist ein erneutes Triggern erst dann wieder möglich, wenn der OS 1 voll erholt ist. Natürlich werden dabei diejenigen Impulse verloren, die vom vorhergehenden einen Abstand von weniger als  $3 \mu s$  aufweisen. Da jedoch bei der in Fig. 3 gezeigten Anordnung die mittlere Impulsfrequenz höchstens etwa  $10 \text{ kHz}$  beträgt, ist die Wahrscheinlichkeit so rasch aufeinander folgender Impulse so gering, dass der Fehler vernachlässigbar wird.

Es bleibt noch übrig, einige Daten über die Leistungsfähigkeit der beschriebenen Fensterdiskriminator-Schaltung anzuführen. Da die Wellenform der vom Fotomultiplier abgegebenen Impulse ungefähr einer Gausskurve entspricht, ist es zweckmässig, den Diskriminator mit einem Testsignal zu prü-

5. Impulsraten-Messer (Count Rate Meter)

Im Impulsraten-Messer (Fig. 15) wird die mittlere Impulsfrequenz in ein Analogsignal umgewandelt. Die Ausgangsimpulse des Fensterdiskriminators werden zunächst differenziert. Bei der positiven Flanke des Ausgangsimpulses

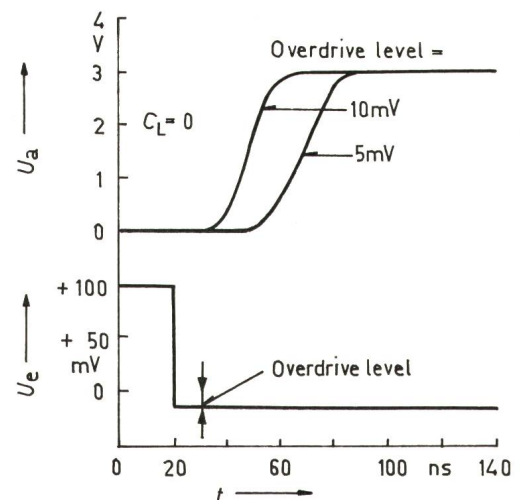
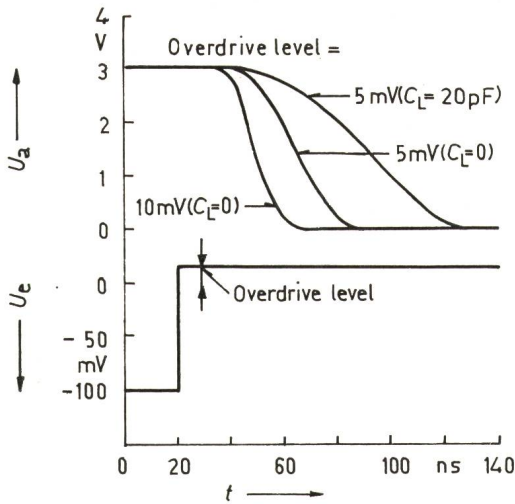


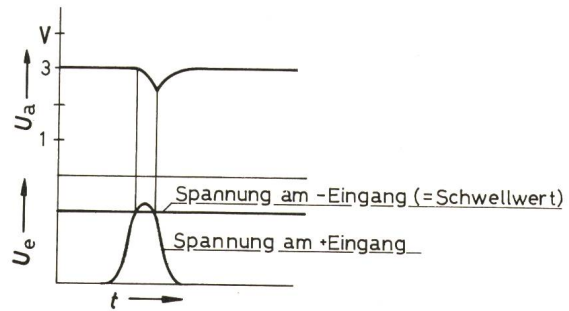
Fig. 12

Zeitlicher Verlauf der Ausgangsspannung  $U_a$  beim Schalten des Komparators von «0» auf «1», gemessen bei verschiedenen «Overdrive levels»  
 $t$  Zeit;  $C_L$  Lastkapazität;  $U_e$  Eingangsspannung



**Fig. 13**  
**Zeitlicher Verlauf der Ausgangsspannung  $U_a$  beim Schalten des Komparators von «1» auf «0», gemessen bei verschiedenen «Overdrive levels»**  
 Man beachte, dass die Abfallzeit bei kapazitiver Belastung des Ausgangs wesentlich vergrößert wird.  
 Bezeichnungen siehe Fig. 12

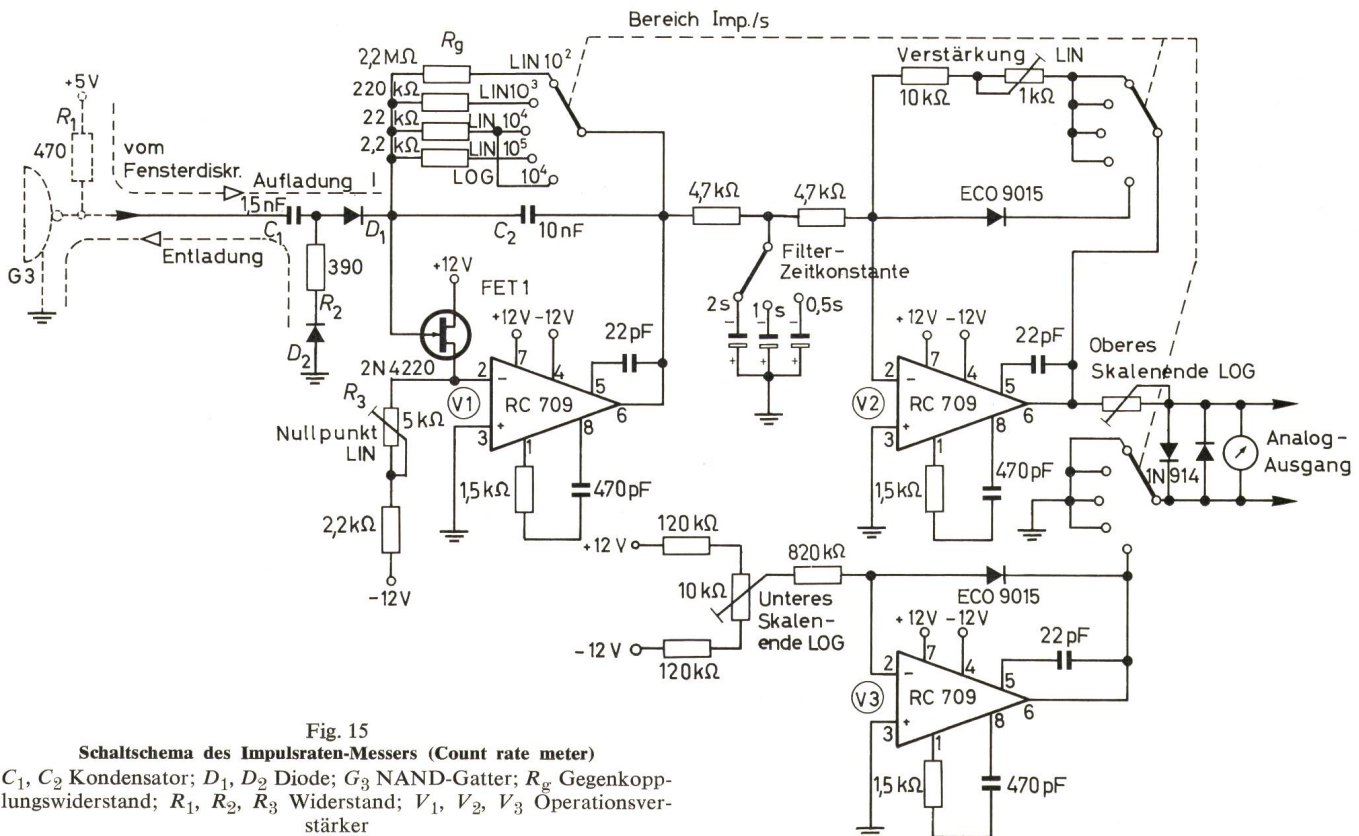
lädt sich der Kondensator  $C_1$  über den Pull-up-Widerstand  $R_1$  und  $D_1$  auf; bei der negativen Flanke entlädt sich  $C_1$  über  $D_2$  und  $R_2$  und den Ausgangstransistor des NAND-Gatters  $G_3$ . Der während der positiven Flanke entstehende Ladungsstoss fließt in den Summierpunkt des Operationsverstärkers  $V_1$  hinein, der hier durch den Gate-Anschluss des Feldefekttransistors FET 1 gebildet wird. Damit diese Ladungsstöße konstant sind, müssen die Zeitkonstanten der Auf- bzw. der Entladung wesentlich kürzer als die Impulsdauer des OS 2 ( $2 \mu s$ ) sein. Die pro Sekunde in den Summierpunkt des Operationsverstärkers hineinfließende Ladung ist der Fre-



**Fig. 14**  
**Teilweise Schalten des Komparators**  
 Überschreitet die Spannung am +Eingang den Schwellwert am -Eingang nur kurzzeitig, so schaltet der Komparator nur teilweise.  
 $U_a$  Ausgangsspannung;  $U_e$  Eingangsspannung;  $t$  Zeit

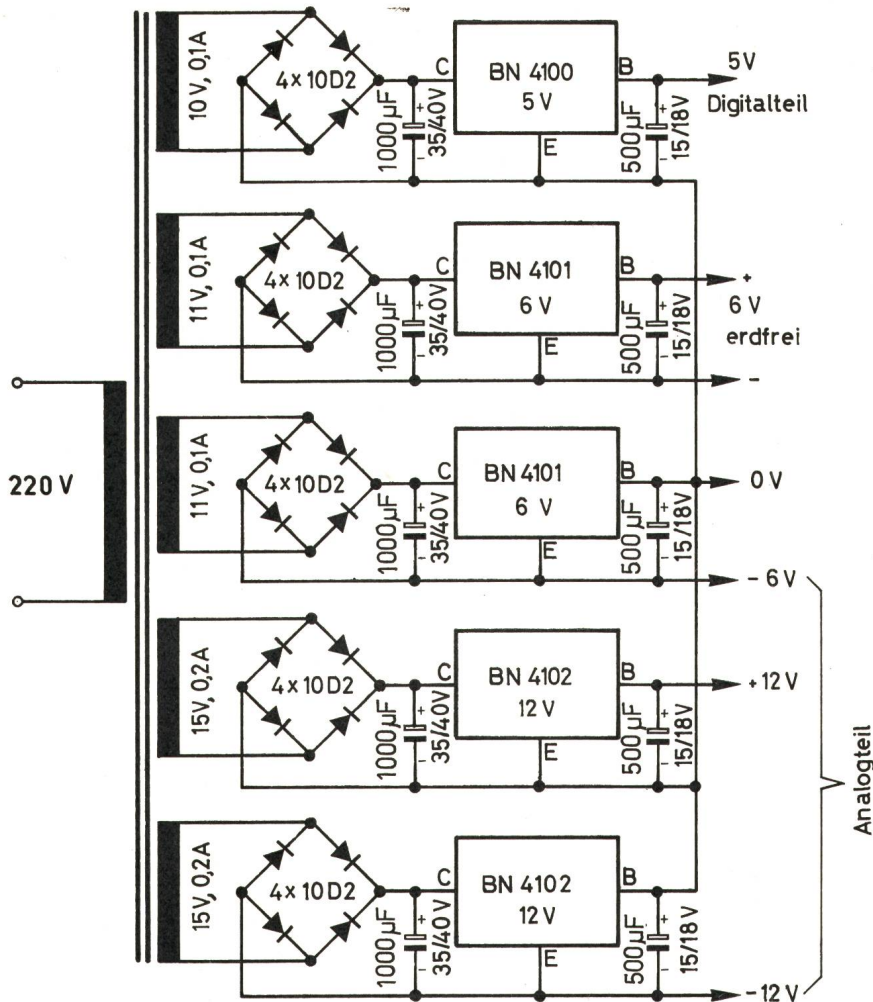
quenz der vom Fensterdiskriminator gelieferten Ausgangsimpulse proportional. Da der Wechselstromanteil des Stromes  $I$  vom Kondensator  $C_2$  ausgefiltert wird, fließt im Gegenkopplungswiderstand  $R_g$  nur die Gleichstromkomponente von  $I$ . Folglich ist die Ausgangsspannung des Operationsverstärkers proportional zur mittleren Impulsfrequenz.

Damit der Eingangsbiastrom des Operationsverstärkers  $V_1$  sowie die Biasstromdrift keinen zu grossen Messfehler erzeugen, muss der Biasstrom gegenüber dem Strom  $I$  sehr klein sein. Angenommen, der empfindlichste Bereich des Impulsraten-Messers solle 100 Imp./s betragen, und der durch den Biasstrom verursachte Fehler solle kleiner als 1% des Vollausschlags sein. Da beim Operationsverstärker Typ RC 709 der Biasstrom bei etwa  $1 \mu A$  liegt, müsste der Gleichstromanteil von  $I$  für eine Impulsfrequenz von 100 Imp./s mindestens  $100 \mu A$  betragen, d. h. pro Impuls müsste eine Ladung von  $Q = 1 \mu C$  in den Summierpunkt hineinfließen. Da  $Q = C U$ , müsste man beispielsweise einen Kondensator



**Fig. 15**  
**Schaltenschema des Impulsraten-Messers (Count rate meter)**  
 $C_1, C_2$  Kondensator;  $D_1, D_2$  Diode;  $G_3$  NAND-Gatter;  $R_g$  Gegenkopplungswiderstand;  $R_1, R_2, R_3$  Widerstand;  $V_1, V_2, V_3$  Operationsverstärker

Fig. 16  
Schaltschema des Netzgerätes



sator von  $0,1 \mu\text{F}$  in Bruchteilen einer  $\mu\text{s}$  auf eine Spannung von  $10 \text{ V}$  aufladen. Dazu würden unvernünftig hohe Ladeströme (Größenordnung  $\text{A}$ ) benötigt. Damit mit Strömen vernünftiger Größenordnung gearbeitet werden kann, wird ein Operationsverstärker mit FET-Eingang verwendet. Der Eingangsbiasstrom reduziert sich dabei auf etwa  $20 \text{ pA}$  bei Zimmertemperatur. Einen äusserst billigen Operationsverstärker mit FET-Eingang erhält man durch Kaskadenschaltung eines Source-Followers (FET 1) und eines billigen bipolaren Operationsverstärkers RC 709. Damit der FET keinen zusätzlichen Spannungsoffset erzeugt, wird mit dem Potentiometer  $R_3$  der Drainstrom so eingestellt, dass er dem Drainsättigungsstrom  $I_{\text{DSS}}$  gleich wird, wodurch die Spannung zwischen Gate und Source auch gleich Null wird.

Durch Umschalten des Gegenkopplungswiderstandes  $R_g$  erhält man dekadisch abgestufte Bereiche von  $0 \dots 100$ ,  $0 \dots 1000$ ,  $0 \dots 10\,000$  und  $0 \dots 100\,000 \text{ Imp./s}$ . Für übersichtliche Messungen ist es oft bequem, eine logarithmische Anzeige zu haben, die mehrere Dekaden umspannt. Zu diesem

Zweck ist dem ersten Operationsverstärker ein zweiter (V 2) nachgeschaltet. Im linearen Betrieb arbeitet V 2 als invertierender Verstärker mit fester Verstärkung. Beim logarithmischen Betrieb ist die Ausgangsspannung proportional zum Logarithmus der Eingangsspannung. Der Logarithmus wird mit einer logarithmischen Diode ECO 9015 gebildet, bei der im Sperrgebiet die Spannung dem Logarithmus des Stromes proportional ist. Der störende Temperaturgang dieser Diode wird durch eine zweite, identische Diode in Verbindung mit einem dritten Operationsverstärker V 3 auskompensiert. Dieser arbeitet mit konstanter Eingangsspannung, so dass seine Ausgangsspannung nur von der Temperatur abhängt. Im logarithmischen Betrieb misst das Anzeigeelement die Differenz der Ausgangsspannungen von V 2 und V 3. Beim Anzeigeelement wird ferner ein Analogsignal für den Anschluss von Schreibern usw. abgenommen.

Damit bei niedrigen Impulsraten die Anzeige infolge der statistischen Verteilung der Impulse nicht schwankt, liegt im Eingang des zweiten Operationsverstärkers ein Tiefpassfilter mit umschaltbaren Zeitkonstanten von  $0,5$ ,  $1$  oder  $2 \text{ s}$ .

## 6. Stabilisierte Spannungsversorgung

Sämtliche stabilisierten Spannungen werden von integrierten Spannungsstabilisatoren geliefert (Fig. 16). Diese Moduln sind hybridintegrierte Schaltungen, bei denen die stabilisierte Spannung durch eine Zenerstabilisierung mit nachgeschaltetem Darlington-Emitterfolger gewonnen wird. Der zweite Emitterfolger wird durch einen Leistungstransistor gebildet.

In Fällen, wo an die Stabilität und den Temperaturkoeffizienten der geregelten Spannung keine allzu grossen Anforderungen gestellt werden, stellen diese Moduln eine einfache und billige Lösung dar.

Adresse des Autors:

R. Best, dipl. Elektroingenieur ETH, Sandoz AG, 4000 Basel.